

血清膜联蛋白 A1 在早发急性心肌梗死患者中的诊断价值

梁 满 陈多学 江荣炎 刘 祥

[摘要] 目的 探究血清膜联蛋白 A1(AnxA1)水平对早发急性心肌梗死(AMI)患者的诊断价值,评估其与早发AMI中急性ST段抬高型心肌梗死(STEMI)和急性非ST段抬高型心肌梗死(NSTEMI)患者冠状动脉病变支数的相关性。方法 选取2017年1月至2021年12月就诊于亳州市人民医院心内科的早发AMI患者(年龄≤40岁)107例,并根据临床诊断分为STEMI组($n=68$)、NSTEMI组($n=39$),选择同期40例冠状动脉造影或冠脉CT检查正常,且无冠心病及心力衰竭病史者(年龄≤40岁)作为对照组($n=40$)。收集一般资料,检测3组对象血清AnxA1水平,分析AnxA1水平与STEMI组、NSTEMI组患者冠状动脉病变支数的相关性,使用受试者工作特征(ROC)曲线评价血清AnxA1对早发AMI的诊断效能。结果 STEMI、NSTEMI组患者血清AnxA1水平高于对照组($P<0.05$),NSTEMI组高于STEMI组患者($P<0.05$)。血清AnxA1水平与STEMI组患者($r=0.813,P<0.05$)、NSTEMI组患者($r=0.832,P<0.05$)冠状动脉病变支数呈正相关。ROC曲线分析显示,血清AnxA1诊断早发AMI的AUC为0.872(95%CI:0.803~0.941, $P<0.05$),诊断灵敏度为94.39%,特异度为70.00%。AnxA1鉴别STEMI和NSTEMI的AUC为0.690(95%CI:0.585~0.783, $P<0.05$),诊断灵敏度为70.00%,特异度为68.90%。结论 血清AnxA1水平与早发AMI患者冠状动脉病变支数呈正相关,对早发AMI患者具有一定的诊断价值。

[关键词] 心肌梗死;膜联蛋白 A1;诊断

doi:10.3969/j.issn.1000-0399.2022.07.015

急性心肌梗死(acute myocardial infarction,AMI)发病有年轻化趋势,≤40岁是早发AMI较常见的年龄界限^[1]。早发AMI患者与中老年AMI患者的危险因素、发病特征和临床结局往往不同^[2],可表现出非特异性症状,起病急、预后差。传统标志物肌钙蛋白 I(cardiac troponin I,cTnI)作为早发AMI的诊断指标具有一定局限性,可能出现漏诊情况^[3]。AnxA1是一种抗炎蛋白,在调节机体炎症反应和组织修复中发挥关键作用。AnxA1水平升高与心力衰竭患者更差的心功能相关,有成为心力衰竭患者预后标志物的潜力^[4]。亦有多项临床研究^[5-7]报道,高水平AnxA1与冠状动脉粥样硬化患者冠状动脉狭窄程度呈正相关,并对病情严重程度具有提示意义。本研究拟分析血清AnxA1水平与早发AMI患者冠状动脉病变支数的相关性,并判断其能否作为早发AMI的诊断标志物。

1 资料与方法

1.1 一般资料 选取2017年1月至2021年12月就

诊于亳州市人民医院心内科的早发AMI患者(年龄≤40岁)107例,并根据临床诊断分为ST段抬高型心肌梗死(ST-segment elevation myocardial infarction,STEMI)组($n=68$)、非ST段抬高型心肌梗死(non-ST-segment elevation myocardial infarction,NSTEMI)组($n=39$),选择40例同期冠状动脉造影或冠脉CT检查正常且无冠心病及心力衰竭病史者(年龄≤40岁)作为对照组($n=40$)。根据第4版心肌梗死国际诊断标准^[8]纳入STEMI和NSTEMI患者。排除标准:**①**基线资料不全者;**②**严重肝肾功能障碍者;**③**急慢性感染性疾病急性发作者;**④**恶性肿瘤者;**⑤**重症心肌炎者;**⑥**心力衰竭者;**⑦**甲状腺功能亢进者。与对照组相比,STEMI组和NSTEMI组中男性、吸烟史、饮酒史和高脂血症的占比较高,差异具有统计学意义($P<0.05$)。STEMI组和NSTEMI组患者性别、吸烟史、饮酒史、高脂血症、年龄、高血压史及糖尿病史差异均无统计学意义($P>0.05$),具有可比性。见表1。

表1 3组对象基线资料比较

指标	对照组(n=40)	STEMI组(n=68)	NSTEMI组(n=39)	F/ χ^2 值	P值
年龄(岁)	35.13±5.59	37.85±1.53	36.05±3.96	0.494	0.611
男性[例(%)]	25(62.50)	66(97.10) ^①	34(87.20) ^①	23.828	0.001
吸烟[例(%)]	9(22.50)	50(73.54) ^①	26(66.70) ^①	28.594	0.001
饮酒[例(%)]	5(12.50)	24(35.30) ^①	19(48.72) ^①	12.637	0.002
高脂血症[例(%)]	9(22.50)	32(47.10) ^①	25(64.10) ^①	14.054	0.001
高血压[例(%)]	2(5.00)	5(7.40)	5(8.20)	1.722	0.466
糖尿病[例(%)]	2(5.00)	3(4.40)	3(7.70)	0.539	0.812

注:STEMI为ST段抬高型心肌梗死,NSTEMI为非ST段抬高型心肌梗死;与对照组比较,^①P<0.017。

1.2 血清收集测定 入院次日清晨收集患者空腹肘静脉血约5mL,室温下静置1h后,在3000r/min、4℃条件下离心10min收集血清,-80℃保存备用。实验室常规检测血清cTnI和B型利钠肽(brain natriuretic peptide,BNP)水平;并采用酶联免疫吸附法检测患者血清AnxA1水平,试剂盒购自上海纪宁实业有限公司。

1.3 研究内容 比较3组对象血清cTnI、BNP和AnxA1水平;分析血清AnxA1水平与STEMI、NSTEMI组患者冠状动脉病变支数相关性;评估AnxA1对早发AMI患者的诊断价值。

1.4 统计学方法 使用SPSS 24.0软件进行统计学分析。符合正态分布的计量资料以 $\bar{x}\pm s$ 表示,组间比较采用单因素方差分析,进一步两两比较采用LSD-t检验。不符合正态分布的以 $M(P_{25}, P_{75})$ 表示,组间比较采用Kruskal-Wallis H检验,进一步两两比较采用Bonferroni法,调整检验水准 $P<0.017$ 为差异有统计

学意义。计数资料以频数和率表示,组间比较采用 χ^2 检验或Fisher确切概率法检验,进一步两两比较采用卡方分割法,调整检验水准 $P<0.017$ 为差异有统计学意义。满足正态分布的数据使用Pearson进行相关性分析,不满足则使用Spearman进行相关性分析;受试者工作特征(receiver operating characteristic,ROC)曲线用于分析血清AnxA1对早发AMI患者的诊断价值。以 $P<0.05$ 为差异有统计学意义。

2 结果

2.1 3组对象血清cTnI、BNP、AnxA1水平的比较 STEMI组、NSTEMI组对象血清cTnI、BNP及AnxA1水平高于对照组,差异有统计学意义($P<0.05$)。cTnI在STEMI组患者血清中的表达水平高于NSTEMI组($P<0.05$),AnxA1在STEMI组患者血清中的表达水平低于NSTEMI组($P<0.05$),STEMI组与NSTEMI组间BNP水平差异无统计学意义($P>0.05$)。见表2。

表2 3组对象血清cTnI、BNP及AnxA1水平的比较

指标	例数	cTnI(ng/mL)	BNP(pg/mL)	AnxA1(μg/mL)
对照组	40	0.012(0.01,0.05)	53.9(33.50,74.50)	0.859(0.63,1.11)
STEMI组	68	22.9(7.27,63.50) ^{①②}	647.5(472.25,1170.25) ^①	1.194(1.10,1.57) ^{①②}
NSTEMI组	39	1.24(0.35,10.50) ^①	794(657.00,2450.00) ^①	1.673(1.28,2.17) ^①
H值		40.744	37.723	56.620
P值		<0.001	<0.001	<0.001

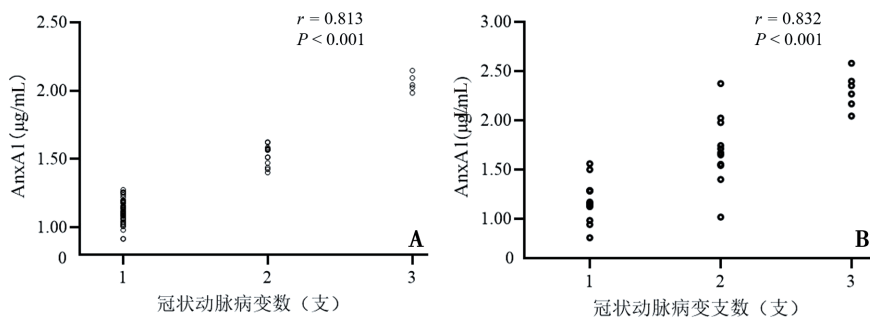
注:cTnI为肌钙蛋白I,BNP为B型利钠肽,AnxA1为膜联蛋白A1;与对照组比较,^①P<0.017;与NSTEMI组相比,^②P<0.017。

2.2 早发AMI患者血清AnxA1水平与冠状动脉病变支数相关性分析 STEMI组和NSTEMI组中的双支冠状动脉病变者血清AnxA1水平高于单支冠状动脉病变者($P<0.05$),且多支冠状动脉病变者高于双支冠状动脉病变者($P<0.05$)。见表3。此外,Spearman相关性分析显示,血清AnxA1水平与STEMI患者($r=0.813,P<0.001$)、NSTEMI患者($r=0.832,P<0.001$)冠状动脉病变支数均呈正相关。见图1。

表3 不同冠状动脉病变支数患者血清AnxA1水平比较

分组	例数	病变支数	AnxA1(μg/mL)	F值	P值
STEMI组	68	单支	1.12±0.09	362.615	0.001
		双支	1.53±0.07 ^{①②}		
		多支	2.06±0.06 ^①		
NSTEMI组	39	单支	1.18±0.21	36.957	0.001
		双支	1.70±0.35 ^{①②}		
		多支	2.30±0.19 ^①		

注:AnxA1为膜联蛋白A1;与单支比较,^①P<0.017;与多支比较,^②P<0.017。

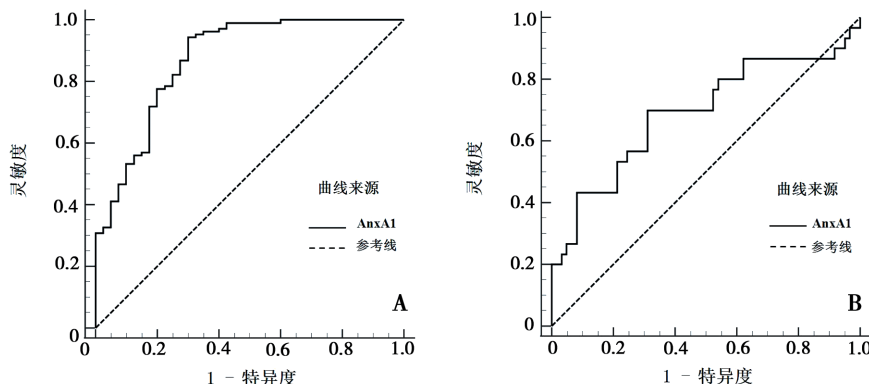


注:A为急性ST段抬高型心肌梗死组;B为急性非ST段抬高型心肌梗死组。

图1 血清AnxA1与早发AMI患者冠状动脉病变支数的相关性

2.3 血清AnxA1水平对早发AMI患者的诊断性能分析 ROC曲线分析显示,血清AnxA1水平诊断早发AMI的AUC为0.872(95%CI:0.803~0.941,P<0.001),截断值为1.002 μg/mL,对应的灵敏度为

94.39%,特异度为70.00%。AnxA1鉴别STEMI和NSTEMI的AUC为0.690(95%CI:0.585~0.783,P=0.003),截断值为1.2758 μg/mL,对应的灵敏度为70.00%,特异度为68.90%。见图2。



注:A为AnxA1诊断对照和早发AMI的ROC曲线;B为AnxA1鉴别诊断STEMI和NSTEMI的ROC曲线。

图2 血清AnxA1诊断早发AMI以及鉴别诊断STEMI和NSTEMI的ROC曲线

3 讨论

与中老年AMI患者相比,吸烟史、血脂代谢异常、家族史和肥胖是早发AMI患者的重要特征^[9]。诊断方面,早发AMI与中老年AMI患者类似,主要依赖于心肌肌钙蛋白、肌酸激酶同工酶^[10]。然而,这些传统标志物诊断早发AMI时仍存在特异性及敏感性低等局限性。寻找新的标志物对早发AMI的诊断至关重要。

本研究发现,早发AMI患者血清AnxA1水平高于对照组,并与早发AMI患者的冠状动脉病变支数呈正相关,提示AnxA1水平可能反映早发AMI患者冠状动脉病变严重程度。AnxA1作为一种应激蛋白,抑制机体过度的炎症反应。生理条件下存在于细胞质中,AMI发生后,AnxA1基因及蛋白表达上调,并被细胞排出,释放到循环中对抗AMI诱发的炎症反应。这一机制可能解释了血清AnxA1水平指示早发AMI患者冠

状动脉病变严重程度的特性,AMI病变程度越重,机体应激产生的循环AnxA1水平越高。进一步的ROC曲线分析显示,血清AnxA1诊断早发AMI的AUC为0.872,截断值为1.002 μg/mL,对应的灵敏度为94.39%,特异度为70.00%,提示AnxA1可能成为诊断早发AMI的一种重要生物标志物。此外,早发AMI患者中NSTEMI组血清AnxA1水平高于STEMI组,且AnxA1鉴别STEMI和NSTEMI的AUC为0.690,截断值为1.2758 μg/mL,对应的灵敏度为70.00%,特异度为68.90%,提示AnxA1可能具有进一步鉴别诊断早发AMI亚型STEMI和NSTEMI的潜力。

从机制上讲,炎症反应与AMI发生前的病理基础(动脉粥样硬化)及发生后的心肌细胞不可逆坏死密切相关。已被证实的AMI发病机制包括钙超载、氧化应激、程序性细胞死亡、自噬及线粒体功能障碍等均可与炎症反应相互影响,造成恶性循环,加重心肌损伤^[11]。AnxA1具有抗炎、抗血管损伤和组织修复功

能,在白细胞、内皮细胞和肥大细胞等多种细胞中表达。既往的研究^[12]报道,AnxA1可能通过抑制白细胞的黏附和募集及炎症介质的释放来保护心肌组织。一项研究^[13]发现,心肌组织AnxA1在基因与蛋白水平都发生了显著变化,提示AnxA1可能与AMI的发病机制密切相关。此外,研究人员^[14]发现,AnxA1的衍生肽Ac2-26可显著降低炎症因子水平,保护心肌组织,减少梗死面积,提示AnxA1可能是治疗AMI的潜在靶点。Chen等^[15]亦发现,重组AnxA1可通过调节成纤维细胞和炎症细胞表型缓解心脏舒张功能障碍。总之,AnxA1与AMI的发病密切相关,并可作为AMI潜在的治疗靶点。

综上,早发AMI患者血清AnxA1表达水平升高,与冠状动脉病变更支数存在相关性,并可能作为诊断早发AMI及区分STEMI和NSTEMI患者的潜在标志物。但本研究为单中心研究,且样本量较小,仍需多中心、大样本研究进行探索及证实。

参考文献

- [1] ZASADA W, BOBROWSKA B, PLENS K, et al. Acute myocardial infarction in young patients [J]. Kardiol Pol, 2021, 79(10): 1093-1098.
- [2] SAGRIS M, ANTONOPOULOS A S, THEOFILIS P, et al. Risk factors profile of young and older patients with Myocardial Infarction [J]. Cardiovasc Res, 2021;cvab264.
- [3] TWEET M S. Sex differences among young individuals with myocardial infarction [J]. Eur Heart J, 2020, 41(42): 4138-4140.
- [4] ADEL F W, RIKHI A, WAN S H, et al. Annexin A1 is a potential novel biomarker of congestion in acute heart failure [J]. J Card Fail, 2020, 26(8): 727-732.
- [5] 赵智凝,武易,徐永妮,等. 血清AnxA1、RBP4、HN表达差异与冠状动脉粥样硬化患者冠状动脉狭窄程度的关系 [J]. 中国分子心脏病学杂志,2021,21(4):4100-4103.
- [6] 吴威,衣欣,蒙奕兵,等. 膜联蛋白A1、sd-LDL、Angptl2与冠心病及对冠状动脉粥样硬化病变程度的诊断价值 [J]. 分子诊断与治疗杂志,2020,12(1):84-88,98.
- [7] 刘曙艳,付宝. 2型糖尿病合并冠心病患者血清膜联蛋白A1、γ-谷氨酰转肽酶与冠状动脉狭窄程度的相关性 [J]. 热带医学杂志,2018,18(1):54-57.
- [8] THYGESEN K, ALPERT J S, JAFFE A S, et al. Fourth universal definition of myocardial infarction (2018) [J]. J Am Coll Cardiol, 2018, 72(18): 2231-2264.
- [9] 刘欣,罗瑛. 35岁以下急性心肌梗死危险因素的研究进展 [J]. 中南大学学报(医学版),2020, 45(7):856-861.
- [10] GONG F F, VAITENAS I, MALAISRIE S C, et al. Mechanical complications of acute myocardial infarction: a review [J]. JAMA Cardiol, 2021, 6(3): 341-349.
- [11] HE J, LIU D, ZHAO L, et al. Myocardial ischemia/reperfusion injury: Mechanisms of injury and implications for management (Review) [J]. Exp Ther Med, 2022, 23(6):430.
- [12] ANSARI J, KAUR G, GAVINS F N E. Therapeutic potential of annexin A1 in ischemia reperfusion injury [J]. Int J Mol Sci, 2018, 19(4):1211.
- [13] LI Y, WANG C, LI T, et al. The whole transcriptome and proteome changes in the early stage of myocardial infarction [J]. Cell Death Discov, 2019, 5: 73.
- [14] DE JONG R, LEONI G, DRECHSLER M, et al. The advantageous role of annexin A1 in cardiovascular disease [J]. Cell Adh Migr, 2017, 11(3): 261-274.
- [15] CHEN J, NORLING L V, MESA J G, et al. Annexin A1 attenuates cardiac diastolic dysfunction in mice with inflammatory arthritis [J]. Proc Natl Acad Sci USA, 2021, 118(38):e2020385118.

(2022-03-06 收稿)

(本文编校:张迪,崔月婷)